

بررسی تأثیر رفتار هیدرومکانیکی درزه‌ها در ایمنی تکیه‌گاه سدهای بتی قوسی

سعید یزدانی (کارشناس ارشد)
محمد یزدانی (استادیار)
دانشکده مهندسی عمران و محیط زیست، دانشگاه تربیت مدرس

ساختگاه‌های سنگی که بهمنزله‌ی تکیه‌گاه و پی سدهای بتی قوسی انتخاب می‌شوند، به علت شکل خاص این سازه‌ها و نحوی انتقال بارشان، بایستی دارای استحکام و سختی بالایی باشند. از طرفی سنگ‌های ساخت به علت ماهیت شکننده‌ی خود معمولاً دارای تعدادی دسته درزه و ناپیوستگی هستند. وجود درزه‌ها بهمنزله‌ی صفحات ضعف و تأثیرات مهم خصوصیات آن‌ها، می‌تواند پایداری این سازه‌های عظیم را با مخاطره همراه کند. به همین دلیل لازم است تا نقش ناپیوستگی‌ها بر روی پایداری سدهای بتی قوسی کاملاً بررسی شود. در این تحقیق با استفاده از نرم‌افزار UDEC، وضعیت پایداری تکیه‌گاه سدهای بتی قوسی در دوحالت خشک و وجود چریان در درزه‌ها براساس دو روش افزایش پارامتر فشار آب پشت سد و روش کاهش پارامترهای مقاومتی درزه‌ها، SRF، ارزیابی شده است. در این راستا و برای مقایسه‌ی بهترین دو حالت، مقادیر لغزش و بارشگری در محل ناپیوستگی‌ها و میزان نشت آب از داخل آن‌ها ارزیابی شده است و از میزان گسترش آن‌ها در کل تکیه‌گاه بهمنزله‌ی شاخصی برای تخمین ایمنی تکیه‌گاه سد استفاده می‌شود. نتایج به خوبی لزوم لحاظکردن چریان آب و پذیده‌ی هیدرومکانیکی را در بحث ارزیابی پایداری توده‌ی سنگ تکیه‌گاه این‌گونه سدها نشان می‌دهد به نحوی که عدم شبیه‌سازی چریان آب، علاوه بر پیش‌بینی‌های نادرست از مکانیزم‌های رفتاری توده سنگ تکیه‌گاه، ممکن است به نتایجی در خلاف جهت ایمنی سد بیانجامد.

yaz_saeed@yahoo.com
myazdani@modares.ac.ir

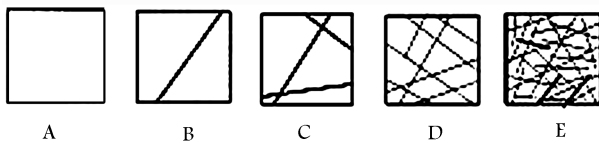
واژگان کلیدی: هیدرومکانیک، توده سنگ درزه‌دار، سد بتی قوسی.

۱. مقدمه

ساختگاه‌های سنگی که برای احداث سدهای بتی قوسی درنظر گرفته می‌شوند، معمولاً به دلیل شدت بارهای وارد بر آن‌ها، بایستی دارای استحکام و سختی بالایی باشند، از این جهت تکیه‌گاه و پی این سدها دارای حساسیت خاصی هستند. از آنجا که به دلایل سازه‌ی فقط توده‌های سنگی ساخت برای تکیه‌گاه این‌گونه سدها انتخاب می‌شوند، می‌توان در مطالعه‌ی پایداری آن‌ها از هرگونه گسیختگی در سنگ سالم صرف نظر و فقط نقش درزه‌ها را در این ارتباط بررسی کرد. لذا لزوم بررسی نقش درزه‌ها بهمنزله‌ی یک جزء اصلی از توده سنگ در پایداری ژئوتکنیکی سدهای بتی قوسی اهمیت فراوانی دارد.

این تذکر لازم است که بررسی نقش درزه‌ها بهمنزله‌ی تنها مجاری چریان، بر روی رفتار هیدرومکانیکی تکیه‌گاه این سازه‌ها نیز بسیار حیاتی است. وجود مخزن سد و حجم عظیم آب در تماس با تکیه‌گاه و پی در کنار هد زیاد آن، نشت چریان درون محیط توده سنگی تکیه‌گاه را به همراه دارد. حرکت آب درون توده سنگ علاوه بر آثار بسیاری که در پایداری آن دارد، مکانیزم‌های گسیختگی این محیط را نیز

تاریخ: دریافت ۱۲/۱۲/۱۳۸۶، داوری ۲۲/۶/۱۳۸۷، پذیرش ۱۰/۱/۱۳۸۸.



شکل ۱. شدت درزه داری در انواع توده سنگ.

نایپوستگی ها ممکن است باز یا بسته و یا با مواد پرکننده می مثل رس پُر شده باشند. نفوذ پذیری نایپوستگی های پُر شده عموماً متأثر از عوامل مختلفی چون درصد رطوبت و نفوذ پذیری ماده ای پرکننده، ضخامت و جنس آن و همچنین وضعیت تشنهای پیرامونی است.^[۱۲] از آنجا که روش به کار رفته در این نوشتار بر اساس عبور جریان فقط از طریق درزه ها (و نه از داخل سنگ سالم) است، معنی می شود تا در این قسمت، مروری بر مطالعه های تجربی و تحلیلی مهمی بر روی آثار متقابل تغییرشکل و جریان در توده سنگ درزه دار اشباع با لحاظ کردن روش های جریان نایپوستگی مجرزا و تحلیل جریان مجرزا^۲ (جریان فقط از طریق نایپوستگی ها) صورت گیرد. در این مرور آثار زیری سطح، اندازه شکاف درزو و تغییرات تش شریعه جریان ملاحظه می شود. در دو دهه اخیر کارهای تجربی و تحلیلی مهمی بر روی آثار متقابل تغییرشکل و جریان در توده سنگ درزه دار اشباع با لحاظ کردن روش های جریان نایپوستگی مجرزا و محیط های متخالخل^۳ انجام شده است.^[۱۵-۱۶] استفاده از تحلیل محیط های متخالخل، فقط برای سنگ های با تخلخل زیاد مثل ماسه سنگ مناسب است. در این روش که تاکنون به طور گسترده بی در مکانیک خاک استفاده شده است، جریان و خواص انتقال جریان در سنگ با فرض محیط پیوسته بررسی می شود. با این حال، مناسب ترین روش محاسبه ای جریان (مانند روش مجرزا، پیوسته و یا تکیبی از هر دوی آن ها) بسته به میراث در دسترس بودن اطلاعات زمین شناسی و دقت مورد نیاز در تخمین جریان، انتخاب می شود.

در حالت ایده آل جریان درون سنگ سالم (حالت A، شکل ۱)، جریان فقط از طریق حفره های به هم مرتبط رخ می دهد که اندازه و شکل آن ها به سبب تشنهای اعمالی در حال تغییر است. تحلیل جریان در این محیط با روش پیوسته و بر اساس مکانیک محیط های متخالخل انجام می گیرد. در سوی دیگر طیف، برای یک توده سنگی شدیداً درزه دار نیز (حالت E در شکل ۱)، جریان درون توده سنگ را می توان به بهترین شکل به وسیله روش های پیوسته ارزیابی کرد.^[۱۷-۱۸] در میان این دو حالت حدی (حالات B, C و D)، برای تحلیل جریان فقط باید از روش های نایپوسته استفاده کرد.

تلash هایی نیز برای م adul کردن شبکه بی از درزه ها به صورت محیط پیوسته انجام شده است. برخی پژوهشگران نشان داده اند که تایج به دست آمده از این روش به اندازه ای تایج روش نایپوستگی مجرزا، واقعی و مطمئن نیستند.^[۱۹] از طرفی برای به کار بردن مدل نایپوستگی مجرزا، لازم است تا خواص نایپوستگی ها مثل اندازه شکاف^۴ و جهت یافته^۵ تعیین شود. ضمن اینکه بیشتر روش های عددی تحلیل جریان در توده سنگ درزه دار با فرض اشباع بودن توده سنگ انجام می شوند، در حالی که جریان درون محیط های توده سنگی عموماً غیر اشباع (مانند آب و هوای آب و مواد جامد و یا آب و هوای مواد جامد) است.

۳. جریان از درون یک نایپوستگی

پارامترهای اصلی کنترل کر جریان آب از طریق یک درزه سنگی بدون پرشدگی عبارتند از زبری سطح درزه، اندازه شکاف متغیر، جهت یافته^۵ درزه ها، تنش نرمال و برشی و رفتار بار برداری و بارگذاری. در مطالعات اولیه پژوهشگران، جریان درون

پدیده هی هیدرومکانیکی در تکیه گاه چپ آن تخریب شد و خسارات مالی و جانی بسیاری به همراه داشت.^[۲۰]

بیشتر مطالعات انجام شده بر روی سده های بتني قوسی^[۸-۲۱] علی رغم اینکه به نقش نایپوستگی ها و پارامترهای مقاومتی و هندسی آن ها برروی واکنش تکیه گاه و پایداری آن تأکید کرده اند، اما تأثیرات جریان سیال درون درزه ها و پدیده هی هیدرومکانیکی در پایداری تکیه گاه این سازه ها را کمتر مورد توجه قرار داده اند. در سایر موارد نیز با وجود شبیه سازی جریان در تکیه گاه و فونداسیون، مطالعات منسجم و هدفمندی برای ارزیابی تأثیرات نشت جریان در پایداری سد و تکیه گاه صورت نگرفته است، ضمن اینکه شبیه سازی های انجام شده در یک محیط پیوسته معادل انجام شده است. از طرفی هنوز مشاهده می شود که در طراحی سده های بتني قوسی، مهندسان طراح کماکان از روش های سنتی (مثل فرض یک محیط پیوسته معادل برای توده سنگ و اندرنکشن اندرنکشن هیدرولیکی و مکانیکی در توده سنگ) استفاده کرده اند و تحلیل های واقعی تر که نقش نایپوستگی ها را در مکانیزم گسیختگی لحاظ می کنند، کمتر استفاده می شود. بنابراین با توجه به حوادث اتفاق افتاده در این زمینه (خرابی سد مالپاسه)، نواقص موجود در طراحی این سدها و گسترش احداث این سازه ها در کشورمان، لزوم بررسی مستقلهای پایداری و پارامترهای مؤثر در تکیه گاه سده های بتني قوسی سیار حیاتی است.

با توجه به نواقص مطالعات قبلی که عمدتاً به دلیل عدم شبیه سازی جریان آب یا عدم بررسی هدفمند آثار آن به همراه شبیه سازی یک محیط پیوسته معادل به جای محیط نایپوسته تکیه گاه بوده است، در این تحقیق سعی شده است تا این ایجادها مرتفع شود.

در این مطالعه با استفاده از نرم افزار UDEC که برای شبیه سازی محیط های نایپوسته دو بعدی بر اساس روش المان های مجرزا تهیه شده است، آثار جریان آب و پدیده هی هیدرومکانیکی در پایداری تکیه گاه های این گونه سدها ارزیابی شده است اگرچه وضعیت اعمال تنش ها در سده های بتني انجام تحلیل های سه بعدی را برای برآورد دقیق تر پاسخ سد و تکیه گاه ها ایجاد می کند، ولی به دلایلی در این تحقیق از تحلیل های دو بعدی استفاده شد. نخست اینکه انجام تحلیل های هیدرومکانیکی تکیه گاه سدها حتی در حالت دو بعدی مسئله بی نسبتاً جدید در مهندسی سد است. لذا برای درک بهتر رفتار هیدرومکانیکی در وضعیت سه بعدی و تفسیر آسان تر تاییج آن، منطقی است ابتدا این رفتار در حالت دو بعدی کاملاً شناسایی شود.

در این مطالعه از سه پارامتر بیشینه های بازشدگی و لغزش در امتداد درزه ها و همچنین بیشینه دبی عبوری از آن ها در حکم شاخصی برای گسیختگی تکیه گاه استفاده شده است. لذا برای تخمین کمی و گیفی نایپوستگی های این گونه در تکیه گاه از دو روش افزایش پارامتر نشار آب پشت سد و روش کاوش پارامترهای مقاومتی درزه ها (SRF) استفاده شده است. در هر دو روش، یک ضریب اینمنی برای تکیه گاه تعریف می شود.

۲. جریان در توده سنگ

در این بخش شرحی کلی بر بحث جریان آب از طریق سنگ ها که پژوهشگران مختلف انجام داده اند، عنوان می شود. تحقیقات انجام شده^[۱۱-۱۹] نشان داده که خواص فیزیکی و نفوذ پذیری سنگ ها متأثر از هندسه نایپوستگی ها، اتصال^۱ بین آن ها و اندازه و شکل حفره ها است. یک توده سنگ شامل سنگ سالم و نایپوستگی هایی در شکل های مختلف است. برای سنگ های با نفوذ پذیری کم جریان های آب و گاز عمده از طریق شبکه بی از نایپوستگی های به هم مرتبط رخ می دهد. در عمل

جدول ۱. ضرایب λ و میزان دبی عبوری از یک درزه منفرد.

توضیحات		دبی	ضریب λ	نوع جریان
زبری نسبی $k/D_h \leq 0.033$	لایه‌یی	$q = \frac{g}{12v} e^{\frac{1}{2}} J$	$\lambda = \frac{46}{R_c}$ (پواسیوله)	جریان موازی
	آشفته	$q = \left[\frac{g}{12v} \left(\frac{1}{v} \right)^{0.25} e^{\frac{1}{2}} J \right]^{\frac{1}{v}}$	$\lambda = 0.316 R_e^{-0.25}$ (پلاسیوس)	
زبری نسبی $k/D_h \geq 0.033$	لایه‌یی	$q = -\frac{ge^{\frac{1}{2}} J}{12v \left[1 + 1.8 \left(\frac{k}{D_h} \right)^{1.5} \right]}$	$\lambda = \frac{46}{R_c} \left[1 + 1.8 \left(\frac{k}{D_h} \right)^{1.5} \right]$ (لویز)	جریان غیر موازی
	آشفته	$q = 4\sqrt{g} \left(\log \frac{1.9 D_h}{k} \right) e^{1.5} \sqrt{J}$	$\lambda = 2 \log \frac{k}{1.9 D_h}$ (نیکورادس)	

یک درزه همانند جریان از طریق یک کانال یا لوله که در آن هیچ‌گونه تغییرشکلی تحت تأثیر تنש‌های خارجی صورت نمی‌گیرد شبیه‌سازی می‌شود.^[۱۷] در این راستا با اقتباس از قانون معروف پواسیوله^[۱۸] در مکانیک سیالات برای محاسبه‌ی دبی جریان سیال لوح تراکم‌ناپذیر از طریق لوله‌ها، دبی جریان از طریق دو صفحه‌ی موازی به‌دست آمد که در آن به‌دلیل وجود توان^۳ برای پارامتر اندازه‌ی شکاف، در مکانیک سنگ به قانون مکعب معروف شد:

$$(1) Q = J \frac{\gamma}{12\mu} b^3 l$$

که در آن، J گرادیان هیدرولیکی؛ γ پهنای قطعات درزه؛ b اندازه‌ی شکاف درزه؛ μ چسبندگی دینامیکی سیال؛ l وزن مخصوص سیال است. اما در عمل، تغییرشکل ناشی از تنش‌های خارجی، میزان دبی عبوری از درزه را تغییر می‌دهد و فشارهای آب ایجاد شده نیز تغییرشکل‌های بعدی ناپوستگی را به‌نبال دارد. در پژوهش‌های آب نشان داده شد که جریان عبوری از درزه تابعی از زبری سطح درزه، اندازه‌ی شکاف متغیر در امتداد درزه، مقدار بارهای خارجی و جهات آن‌ها نسبت به جهت‌یافتنگی درزه و خواص مصالح پرکننده‌ی آن است.^[۲۰-۲۱]

۲.۳. اندازه‌ی شکاف متغیر

اندازه‌ی شکاف درزه، پارامتری کلیدی برای تعیین خواص هیدرولیکی محیط توده سنگ درزه‌دار است. با این حال اندازه‌گیری توزیع اندازه‌ی شکاف یک درزه، کار بسیار مشکلی است. درزه‌های طبیعی عموماً زبر و نامنظم با جدارهای ناصاف هستند که باعث تشکیل نقاط تماس در چند نقطه‌ی مجراء از طول درزه می‌شوند (شکل ۲). در مدل‌های ریاضی عموماً برای ساده‌سازی، ناپوستگی‌ها به صورت جداره‌های صاف و موازی شبیه‌سازی می‌شوند.^[۲۲]

اندازه‌گیری اندازه‌ی شکاف درزه ممکن است مستقیم یا غیرمستقیم صورت گیرد. برای تخمین دقیق تر لازم است تا تغییرات اندازه‌ی شکاف در طول درزه محاسبه شود. اندازه‌ی شکاف مکانیکی که براساس اندازه‌گیری‌های مستقیم حاصل می‌شود عموماً از اندازه‌ی شکاف‌های هیدرولیکی مؤثر به‌دست آمده از محاسبات معکوس جریان حالت دائمی با استفاده از قانون مکعب به دست آمده بزرگ‌تر است. مدل‌هایی نیز برای بیان تأثیر تغییرات اندازه‌ی شکاف در امتداد یک درزه در معادله‌ی قانون مکعب ارائه شده است.^[۲۳]

برای واردکردن تغییرات اندازه‌ی شکاف در محاسبات جریان، درزه‌های سنگی نامنظم با قطعاتی از دیوارهای صفحه‌یی موازی (شکل ۳) شبیه‌سازی شده است.^[۲۴] لذا با تعریف تابع توزیع بسامدی تغییرات اندازه‌ی شکاف سعی شد تا رابطه‌ی

۱.۳. تأثیر زبری سطح

جریان از طریق یک ناپوستگی معمولاً به شکل قانون مکعب که براساس عبور جریان لایه‌یی از طریق صفحات موازی صاف تعریف شده است، بیان می‌شود. پژوهشگران بر اساس نتایج مطالعات آزمایشگاهی پیشنهاد کردند که قانون مکعب را می‌توان برای سطوح زبر و درزه‌های واقعی با تنش نیز محدود کننده‌ی آن است.^[۲۵]

با این حال باید توجه داشت که زبری سطح درزه‌ها باعث افت هد جریان درون درزه‌ها می‌شود. آثار زبری سطح بروی نفوذی‌بزیری درزه‌ها مطالعه شدند تا از این طریق رابطه‌ی قانون مکعب را اصلاح کنند.^[۲۶-۲۷] برای بررسی آثار زبری، تئوری‌های موجودی که برای تحلیل جریان از میان یک مجراء به‌کار می‌روند بسط داده شد.^[۲۸] برای لحاظکردن آثار زبری سطح، ضریب λ ^۷ که تابعی از عدد رینولدز Re و اندازه‌ی شکاف درزه است تعریف می‌شود. برای یک ناپوستگی سنگی بسته به مقدار ضریب λ ، مدهای مختلف جریان مثل جریان لایه‌یی و آشفته می‌توانند رخ دهند. در حالت کلی λ تابعی از عدد رینولدز، زبری درزه (k) و اندازه‌ی شکاف هیدرولیکی (D_h) آن است. برای یک درزه‌ی صاف ($k/D_h \leq 0.33$)، ضریب λ فقط تابعی از عدد رینولدز است و جریان نیز به‌شکل لایه‌یی در نظر گرفته می‌شود.^[۲۹] ضرایب λ

۳.۳. تأثیرات تنفس برشی و نرمال بر روی یک درزه

اندازه‌ی شکاف یک ناپیوستگی، e_t در همه‌ی زمان‌ها با $e_t = e_0 \pm \delta_n$ بیان می‌شود که اندازه‌ی شکاف اولیه، e_0 اندازه‌ی شکاف در زمان t و δ_n (بازشدگی یا بسته‌شدگی درزه) در خلال زمان t است. در مکانیک سنگ مؤلفه‌های تغییرشکل نرمال و برشی با رابطه‌های ۲ و ۳ بیان می‌شوند:^[۲۴]

$$\delta_n = \frac{1}{k_n} [\sigma_1 \cos \beta + \sigma_2 \sin \beta] \quad (2)$$

$$\delta_s = \frac{1}{k_s} [\sigma_2 \cos \beta - \sigma_1 \sin \beta] \quad (3)$$

در رابطه‌های ۲ و ۳، σ_1 تنفس عمودی وارد بر درزه؛ σ_2 تنفس افقی وارد بر درزه؛ k_n سختی نرمال درزه؛ k_s سختی برشی درزه؛ β امتداد درزه؛ δ_n بازشدگی نرمال درزه؛ δ_s جابجایی افقی درزه است. با توجه به اینکه فشار آب عمود بر سطح درزه عمل می‌کند، معادله‌ی ۲ را می‌توان به شکل رابطه‌ی ۴ اصلاح کرد:

$$\delta_n = \frac{1}{k_n} [\sigma_1 \cos \beta + \sigma_2 \sin \beta - P_w] \quad (4)$$

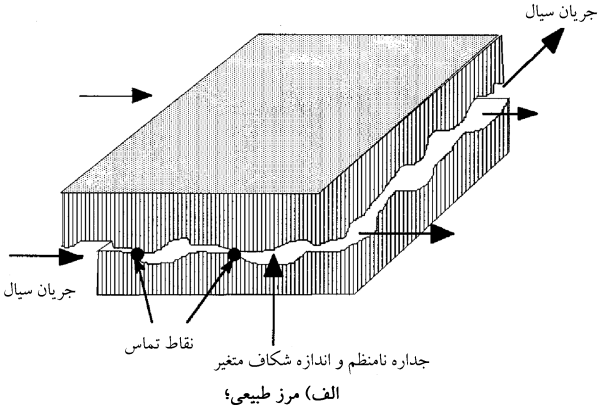
P_w ، فشار آب درون درزه است. مقادیر بازشدگی ناپیوستگی‌ها بسته به مقدار تنفس و جهت یافتنگی درزه نسبت به جهات تنفس، متغیر است. با این حال در عمل، در سطحی مشخص از تنفس، بسته شدن درزه‌ها متوقف می‌شود و تغییرشکلی در درزه اتفاق نمی‌افتد. به اندازه‌ی شکاف درزه در این سطح تنفس، «بازشدگی باقیمانده»^۸ می‌گویند که تابعی از وضعیت تنفس‌های خارجی، پروفیل اولیه سطح درزه و خواص هندسی و فیزیکی آن‌هاست. این پارامتر (بازشدگی باقیمانده) قبلاً با استفاده از آزمایش‌های سه‌محوری بررسی شده است.^[۲۵، ۲۶] دیگر مطالعات آزمایشگاهی نیز نشان می‌دهد که مقادیر بازشدگی باقیمانده برای نوعی سنگ مشخص بسته به اندازه‌ی شکاف هیدرولیکی اولیه متغیر است.

۴. تأثیرات بارگذاری و باربرداری

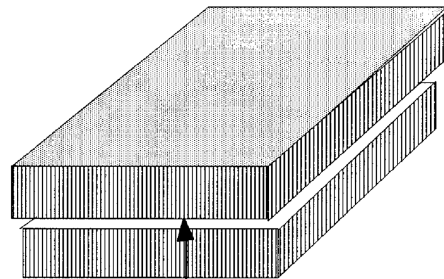
توجه به تغییرات جریان به علت بارگذاری و باربرداری بسیار مهم است. چنانچه تناوب بارگذاری به اندازه‌ی بارگذاری باشد که مقدار اندازه‌ی شکاف به کمترین مقدار خود برسد تغییرات جریان قابل توجه است. به عبارتی چنانچه سطح تنفس به اندازه‌ی نباشد که باعث تماس جداره‌های درزه به هم شود و یا لهیگی در جداره‌ی درزه رخ دهد، آن‌گاه پس از باربرداری، نفوذپذیری اولیه‌ی درزه حاصل خواهد شد. در مقابل اگر میزان اندازه‌ی شکاف به کمترین مقدار خود برسد، پس از باربرداری مجرد، نفوذپذیری اولیه حاصل نخواهد شد.^[۲۵] میزان دبی عبوری از درزه به نحو قابل توجهی در حین افزایش تنفس محدودکننده در دوره‌ی اول بارگذاری کاهش پیدا می‌کند. زمانی که تنفس محدودکننده به ۱۰ مگاپاسکال برسد، تغییرات اندکی در میزان جریان رخ می‌دهد. توجه به این نکته مهم است که دومین و سومین دوره‌ی بارگذاری و باربرداری نقشی در تغییرات جریان عبوری ندارند. به نظر می‌رسد کرنش‌های بازگشت‌ناتایر به علت اولین دوره‌ی بارگذاری و باربرداری رخ می‌دهند.

۴. جریان درون شبکه‌ی از ناپیوستگی‌ها

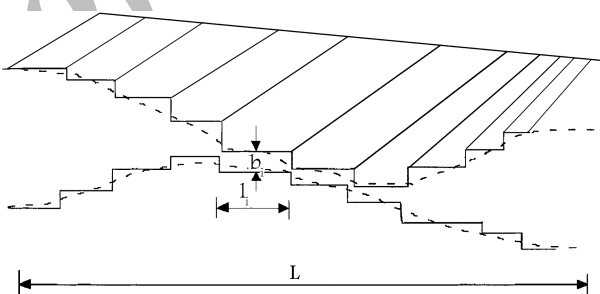
برخی پژوهشگران نشان دادند که وقتی جریان سیال در یک توده سنگ تحت تأثیر ناپیوستگی‌هاست، اتصال و میزان چگالی آن‌ها در توده سنگ نقش بسیار



الف) مرز طبیعی؛



شکل ۲. جریان از میان یک ناپیوستگی.



شکل ۳. مدلی مفهومی برای واردکردن تغییرات اندازه‌ی شکاف یک درزه در محاسبات جریان.^[۲۱]

اصلاح شده‌یی برای قانون مکعب ارائه شود. مقایسه‌ی تابع رابطه‌ی اصلاح شده‌یی به دست آمده با رابطه‌ی معمول قانون مکعب براساس تابع توزیع تغییرات اندازه‌ی شکاف پیشنهادی در مطالعه‌ی آزمایشگاهی شارپ^[۲۲] نشان داد که در اندازه‌ی شکاف‌های کوچک، تفاوت این دو رابطه زیاد است. بدون شک قانون مکعب در وضعیت تنفس‌های کم دقت خوبی دارد ولی در تنفس‌های زیاد، اعتیار آن اصولاً بستگی به ایجاد نقاط تماس جدید بین دیواره‌های درزه و خردشدن دندانه‌ها و در نتیجه باقیماندن مصالح پرکننده در فضای درزه دارد.

در پژوهشی تأثیر اندازه‌ی شکاف متغیر بر دبی عبوری از درزه با استفاده از جریان الکتریکی بررسی^[۲۳] و نشان داده شد که پیچ و خم درزه (اندازه‌ی شکاف متغیر) و همچنین زبری سطح آن می‌تواند تأثیرات مهمی بر دبی عبوری از یک درزه داشته باشد. در این حالت هد هیدرولیکی و زبری سطح به ترتیب معادل پتانسیل هیدرولیکی و مقاومت الکتریکی مسیر جریان الکتریکی هستند.

به همین دلیل و با توجه به اهمیتی که این جابه‌جایی‌ها در پایداری تکیه‌گاه سدهای بتنتی قوسی دارند، از دو شاخص بیشینه‌ی بازشدگی و لغزش در امتداد درزه‌ها استفاده می‌کنیم. این دو شاخص به ترتیب با عنوان بیشترین بازشدگی و بیشترین لغزش در امتداد یک درزه تعریف می‌شوند. از طرفی با توجه به اینکه جریان درون ناپیوستگی تابعی از بازشدگی آن است، شاخص سومی برای ارزیابی اینمی درکیه‌گاه با عنوان بیشینه‌ی دبی عبوری (بیشترین دبی که از مجرای یک ناپیوستگی عبور می‌کند) تعریف می‌کنیم. لرموً مقادیر این سه شاخص در یک نقطه رخ شود.

افزایش یکباره و ناگهانی هریک از این سه شاخص در مقابل افزایش پارامتر فشار آب و ضربی SRF به ترتیب با $P_{failure}$ و $SRF_{failure}$ معادل گسیختگی تکیه‌گاه تغییر می‌شود. در این حالت برای تخمین کتی پایداری در هر دو تحلیل از ضربایب اینمی به این روش استفاده می‌کنیم: در تحلیل اول از ضربایب $P_{failure}/P_*$ استفاده می‌کنیم که فشار آب در لحظه‌ی گسیختگی است و $P_* = 2\text{ MPa}$. فشار آب مبنای است که شبیه‌سازی اولیه بر اساس آن صورت گرفته است. در تحلیل دوم مقدار ضربیب SRF در لحظه‌ی گسیختگی، $SRF_{failure}$ ، با عنوان ضربایب اینمی تکیه‌گاه تعریف شود.

مهمی را بر میزان دبی عبوری دارند و نفوذپذیری توده سنگ با افزایش اتصال میان ناپیوستگی‌ها افزایش می‌یابد.^[۲۶] از طرفی پایداری توده سنگ نیز با افزایش اتصال و ارتباط درزه‌ها با یکدیگر کاهش پیدا خواهد کرد. مثلاً در سازه‌های زیرزمینی چنانچه ناپیوستگی‌ها، آب فراوانی را با فشار زیاد منتقل کنند؛ تنش مؤثر در میان فضای حفاری کاهش پیدا می‌کند و در نتیجه ممکن است باعث گسیختگی آنها شود.

برای بیان ارتباط بین ناپیوستگی‌ها، در ابتدا لازم است تا طول درزه، جهات و موقعیت آنها تعیین شود. یک شبکه‌ی ناپیوستگی از چندین درزه‌ی بهم مرتبط تشکیل شده است. بعضی از ناپیوستگی‌ها ممکن است به‌علت ناکافی بودن جهت یافتنگی، موقعیت یا طولشان برای اتصال به شبکه‌ی موجود، از دیگر درزه‌ها منفک باشند. بنابراین حجم آب عبوری از شبکه‌ی ناپیوستگی‌ها تابعی از میزان اتصال و اندازه‌ی شکاف درزه‌ها است. در سال ۱۹۸۵ پژوهشگران پی برند که چگونه نفوذپذیری در یک شبکه‌ی ناپیوستگی با درجات مختلف به میزان پیوستگی تغییر می‌کند.^[۲۷] مطالعات اخیر نیز نشان می‌دهد که نفوذپذیری با افزایش ارتباط درزه‌ها شدت می‌یابد.^[۲۸] همچنین تأثیرات جهت یافتنگی و نسبت تنش برخا بر میزان جریان ورودی به یک تونل در محیط توده سنگی با استفاده از نرم افزار المان محدود UDEC انجام شد.^[۲۹]

۷. روش تخمین پایداری تکیه‌گاه

در این تحقیق برای بررسی تأثیر جریان آب درون درزه‌ها و همچنین تأثیر وقوع پدیده‌ی هیدرومکانیکی در پایداری تکیه‌گاه و سازه‌ی سد، دو نوع تحلیل انجام می‌شود:

الف) تحلیل افزایش بار: در این تحلیل فشار آب پشت سد تا رسیدن به نقطه‌ی گسیختگی افزایش پیدا می‌کند. در حالت اول، نشت آب به داخل محیط توده سنگی تکیه‌گاه شبیه‌سازی و اجازه‌ی عبور آب از درون درزه‌ها داده می‌شود. در حالت دوم، فرض می‌شود هیچ‌گونه جریانی از درون محیط توده سنگی تکیه‌گاه عبور ننمی‌کند.

ب) تحلیل کاهش مقاومت: در این تحلیل با استفاده از روش کاهش مقاومت، SRF، پارامترهای مقاومتی و سختی درزه‌ها تا رسیدن به گسیختگی کاهش می‌یابند، هرچند که در روش مذکور معمولاً فقط پارامترهای مقاومتی کاهش پیدا می‌کنند. اما به دلیل اینکه سختی و مقاومت مصالح عمده‌ی با یکدیگر متناسب و تقریباً دارای رابطه‌ی خطی هستند، در این مطالعه سختی درزه‌ها نیز به همان نسبت کاهش داده می‌شوند. در این تحلیل با تغییر مقادیر SRF طبق رابطه‌های زیر، پارامترهای مقاومتی و سختی کاهش می‌یابد و وضعیت پایداری محیط بررسی می‌شود:

$$K_{nd} = (K_n / SRF)$$

$$K_{sd} = (K_s / SRF)$$

$$\Psi_d = (\Psi_0 / SRF)$$

$$\varphi_d = \tan^{-1}(\tan \varphi_0 / SRF)$$

$$c_d = (c_0 / SRF)$$

که در آن K_n ، K_s ، Ψ_0 ، φ_0 و c_0 به ترتیب سختی نرمال، سختی برشی، زاویه‌ی اتساع، زاویه‌ی اصطکاک برشی و چسبندگی اولیه‌ی ناپیوستگی‌ها هستند.

۵. نرم افزار UDEC

نرم افزار UDEC یک برنامه‌ی عددی دو بعدی است که برای شبیه‌سازی محیط‌های ناپیوسته براساس روش المان مجاڑه شده است. این نرم افزار پاسخ محیط‌های ناپیوسته (مثل توده سنگ درزه‌دار) را در مقابل بارگذاری‌های استاتیکی و دینامیکی شبیه‌سازی می‌کند. UDEC قابلیت شبیه‌سازی جریان سیال از میان درزه‌های یک سیستم نفوذپذیر را دارد و نرم افزار مناسبی برای تحلیل هیدرومکانیکی جریان است، خصوصاً در مواردی که جریان از طریق شبکه‌ی از ناپیوستگی‌ها صورت می‌گیرد. رفتار مکانیکی درزه‌ها نیز براساس تنش مؤثر است.

این نرم افزار براساس مدهای مختلف گسیختگی که مستقیماً با وجود ناپیوستگی‌ها در ارتباط است، تهیه شده است. هرگونه الگوی هندسی از ناپیوستگی‌ها و دسته درزه‌ها را می‌توان با UDEC شبیه‌سازی کرد. در این نرم افزار چندین مدل رفتاری برای بلوك‌ها و ناپیوستگی‌ها درنظر گرفته شده است.^[۳۰] مدل لغزش کولمب از ساده‌ترین مدل‌های موجود است که سختی کشسانی، زاویه‌ی اصطکاک، چسبندگی، مقاومت کششی و پارامترهای اتساع را به یک درزه نسبت می‌دهد. مدل‌های دیگر مثل مدل درز تسليم یوسته^۹ و مدل بارتون باندیس نیز برای شبیه‌سازی رفتار درزه‌ها وجود دارد.^[۳۱] ضمن اینکه این نرم افزار دارای یک زبان برنامه‌نویسی قدرتمند است که اجازه‌ی اضافه کردن دستورات جدید و در نتیجه افزایش کارایی این نرم افزار را می‌دهد. چندین پژوهشگر از این نرم افزار برای ارزیابی جریان از میان محیط‌های توده‌ی سنگی استفاده کرده‌اند.^[۳۲]

۶. شاخص‌های اینمی تکیه‌گاه

ارزیابی کی‌سی و کیفی مکانیزم گسیختگی و رفتار تکیه‌گاه سدهای بتنتی قوسی با روش‌های عددی، مستلزم استفاده از شاخص‌های اینمی مرتبط با محیط‌های توده‌سنگی درزه‌دار است. همان‌طور که بیان شد، جابه‌جایی‌ها در توده سنگ درزه‌دار شامل لغزش و بازشدگی در امتداد درزه‌ها و چرخش بلوك‌ها حول درزه‌هast است.

جدول ۲. مشخصات بلوک سنگی و درزهای.

بلوک سنگی	دسته‌ی درزهای ۴۵ درجه	دسته‌ی درزهای ۴۵-۴۵ درجه	دسته‌ی درزهای ۴۵ درجه
$K_n = 100 \frac{GPa}{m}$	$K_n = 100 \frac{GPa}{m}$	$E_s = 10 GPa$	
$K_s = 100 \frac{GPa}{m}$	$K_s = 100 \frac{GPa}{m}$	$v = 0.3$	
$\varphi = 35$	$\varphi = 35$	$\gamma = 2700 \frac{kg}{m^3}$	
$c = 0.1 MPa$	$c = 0.1 MPa$		
$\sigma_t = 0$	$\sigma_t = 0$		
$\Psi = 5$	$\Psi = 5$		
$a_s = 0.5 mm$	$a_s = 0 mm$		

۲.۸. مشخصات هیدرولیکی و مکانیکی مدل

مشخصات مکانیکی و هیدرولیکی درزهای و سنگ سالم مطابق جدول ۲ اختیار شده است.^[۱۰] k_s , k_n , φ , c , Ψ , a_s به ترتیب سختی نرمال، سختی برشی، زاویه اصطکاک، چسبندگی، مقاومت کششی، زاویه اتساع و بازشدگی اولیه درزهای و E نیز به ترتیب مدول تغییرشکل و ضربی پواسون سنگ سالم هستند. فرض این است که درزهای بر اساس مدل رفتاری موهر-کولمب ارجاعی-خمیری کامل عمل می‌کنند و بلوک‌ها نیز رفتار ارجاعی دارند.

۳.۸. نتایج تحلیل ها

نتایج تحلیل حالت الف در شکل‌های ۵ و ۶ و نتایج تحلیل حالت ب نیز در شکل‌های ۷ و ۸ آمده است. در اشکال ۵ و ۷، با درنظرگرفتن جریان آب درون درزهای، تغییرات شاخص‌های گسیختگی به ترتیب به ازاء افزایش فشار آب و یا کاهش مقاومت، نشان داده است. در اشکال ۶ و ۸ تغییرات این شاخص‌ها بدون درنظرگرفتن جریان آب درون درزهای به نمایش درآمده است که آهنگی کاملاً متفاوت با حالت نمودارهای ۵ و ۷ دارد. مقایسه شکل‌های ۵ و ۷ نشان می‌دهد که آهنگ تغییرات شاخص‌های گسیختگی در دو حالت افزایش فشار آب و افزایش ضربی SRF، روندی نسبتاً مشابه و تصادعی دارد. با توجه به اینکه در شکل ۵، در پیشنهای فشار آب ۴/۶ مگاپاسکال مقادیر شاخص‌های گسیختگی به سمت بی‌نهایت میل می‌کنند؛ مقدار ضربی اینمی به دست آمده با تعریف انجام شده در بخش ۶ برابر است با $2/(3 - 2/6) = 4/6$. از طرفی مقدار ضربی اینمی به دست آمده از روش کاهش مقاومت در نمودارهای شکل ۷ نیز که در نقطه‌ی $SRF=2/55$ شاخص‌های آن به سمت بی‌نهایت میل کرده است، برابر $2/55$ است.

۹. تفسیر نتایج

نمودار شکل ۵ نشان می‌دهد که در ابتدا با افزایش فشار آب پشت سد، روند تغییرات مقادار شاخص پیشنهای بازشدگی حالتی صعودی داشته است تا اینکه در نزدیکی فشار آب ۴/۶ مگاپاسکال مقادار این شاخص به شکل ناگهانی افزایش پیدا می‌کند. در واقع می‌توان گفت که تکیه‌گاه سد در نزدیکی این فشار ناپایدار است و دچار گسیختگی می‌شود و به تبع آن ناپایداری سازه‌ی سد را نیز به مخاطره خواهد انداخت. در این حالت با توجه به افزایش هد هیدرولیکی آب پشت سد و به دنبال آن افزایش میزان دبی عبوری از ناپیوستگی‌ها بهمنزله‌ی تنها مجاری عبوری جریان، افزایش

تحلیل اخیر نیز یک‌بار با درنظرگرفتن جریان آب درون درزهای و موقع پدیده هیدرومکانیکی و یک‌بار بدون درنظرگرفتن جریان آب انجام می‌شود تا تأثیرات نشت جریان از داخل تکیه‌گاه سدهای بتی قوسی بر پایداری این‌گونه سازه‌ها معلوم شود. با توجه به مکانیزم رفتاری محیط‌های توده سنگی که در مقدمه نیز بدان اشاره شد، برای ارزیابی وضعیت پایداری تکیه‌گاه، علاوه بر پیغام‌های نرم‌افزار، تاریخچه‌ی جاچهایی‌ها، سرعت و نیروهای نامتعادل‌کننده نقاط مختلف نیز کشتل شد و بر اساس آن‌ها اینمی یا گسیختگی تکیه‌گاه بررسی شد.

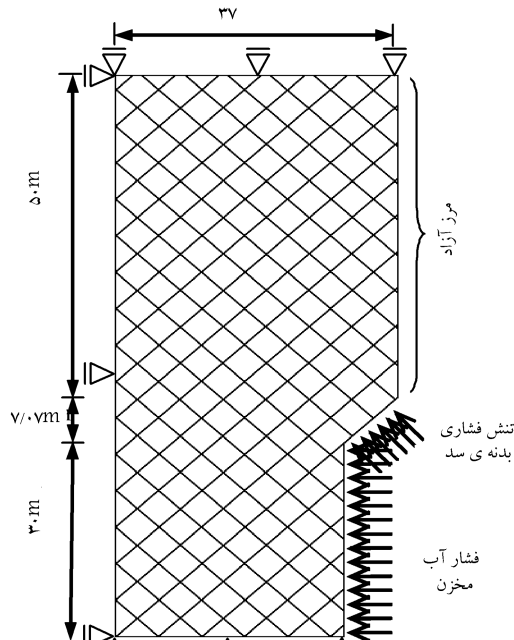
۸. مطالعه‌ی رفتار هیدرومکانیکی تکیه‌گاه یک سد

۸.۱. بتنی قوسی

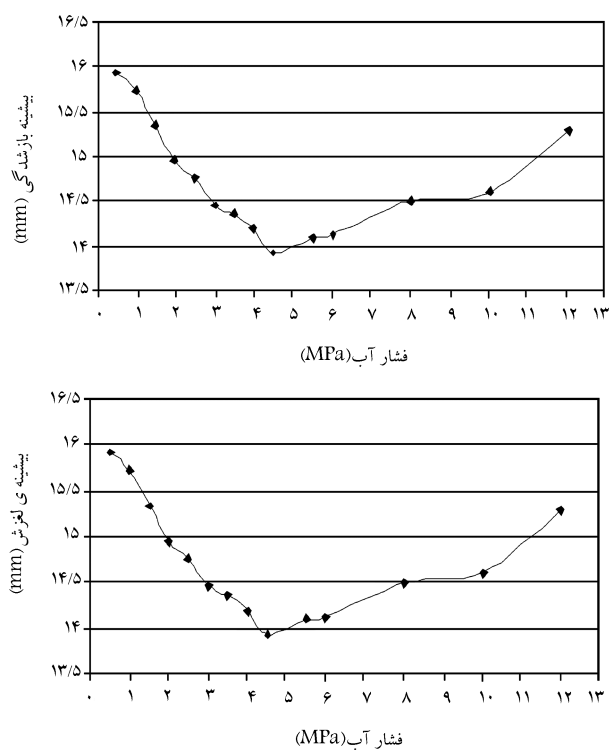
۸.۱.۱. خصوصیات هندسی و بارگذاری مدل

تکیه‌گاه سنگی مورد مطالعه محیطی فرضی است. در این شبیه‌سازی هندسه‌ی که با شکل ۴ لحاظ شده است، بر اساس آن ضخامتی از سد که با تکیه‌گاه در تماس است ۱۰ متر فرض شده است و در واقع به جای شبیه‌سازی بدنی سد، نیرویی را که بر تکیه‌گاه وارد اعمال می‌کند اعمال می‌کنیم. طولی از تکیه‌گاه که در تماس با آب پشت سد است نیز ۳۵ متر فرض شده است و از طریق اعمال یک فشار مکانیکی به همراه هد هیدرولیکی، تأثیر فشار آب پشت سد شبیه‌سازی می‌شود.

به منظور تخمین نیروهای وارد بر تکیه‌گاه از طرف سد و مخزن، قسمتی از سد با طول قوس ۱۰۰ متر ضخامت ۱۰ مترو رتفاق واحد در نرم افزار المان محدود SAP به همراه تکیه‌گاه‌های آن شبیه‌سازی شد. مدل شبیه‌سازی شده، در عمق ۲۰۰ متری سطح نرمال ایستایی آب مخزن فرض شده است که فشاری معادل $P_0 = 2 MPa$ بر بدنی سد ایجاد می‌کند. نهایتاً بر اساس خروجی‌های نرم افزار SAP تنش وارد بر تکیه‌گاه از طرف بدنی سد ۱۵ مگاپاسکال برآورد شد. در شبیه‌سازی‌های انجام شده دو دسته درزه با امتداد ۴۵ و ۴۵-۴۵ درجه نسبت به افق لحاظ شده است.



شکل ۴. مدل دو بعدی پلان تکیه‌گاه چپ.

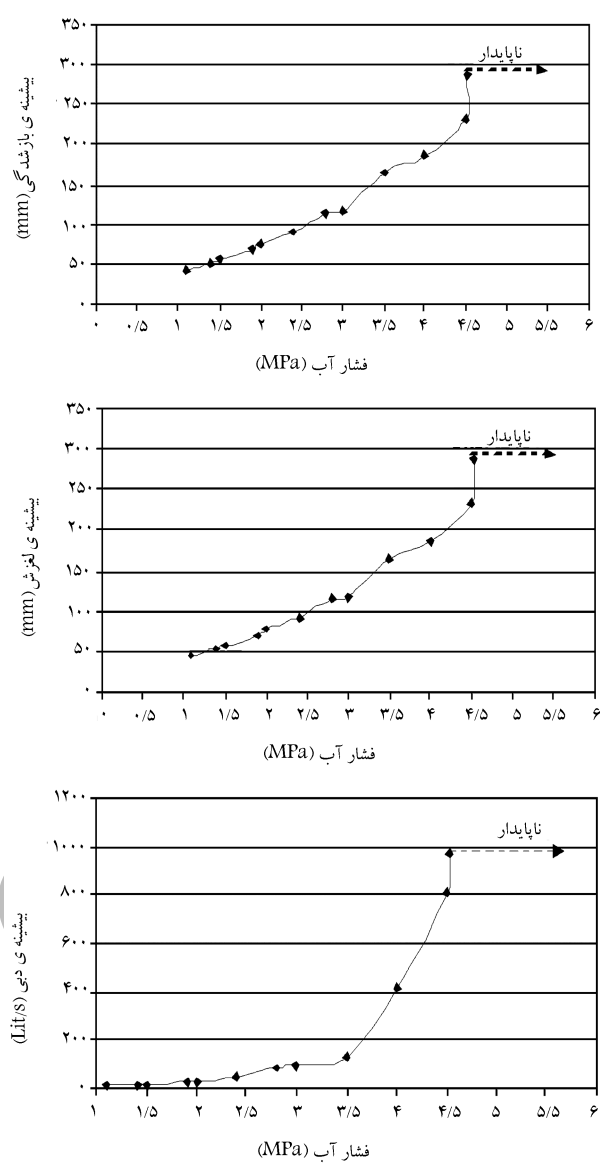


شکل ۶. تغییرات اندیس‌های گسیختگی در مقابل تغییرات فشار آب بدون درنظرگرفتن جریان درون درزه‌ها.

که اولاً این مقادیر در فشارهای آب بسیار بالا به دست آمده‌اند که چون بیشینه‌ی ارتفاع سدهای بتی قوسی دنیا در حدود ۳۰۰ متر است، عملاً چنین فشارهایی وجود ندارند. ثانیاً همان‌طورکه در شکل ۹ نشان داده شده است، مقادیر شاخص گسیختگی به صورت موضعی و در تعداد محدودی درزه و نه در درزه‌های زیاد اتفاق می‌افتد. همچنین خاطرنشان می‌شود که تحلیل‌های انجام‌شده دو بعدی‌اند و در صورت استفاده از تحلیل‌های سه‌بعدی مقادیر لغزش و بازشدگی درزه‌ها قطعاً کاهش پیدا می‌کنند. از طرف دیگر باید گفته که در مدل شبیه‌سازی‌شده هیچ‌گونه راهکار پهساسازی همانند استفاده از تربیق و پرده‌ی آب بند به کار نرفته است. با توجه به اینکه غالباً در تکیه‌گاه سدهای بتی قوسی از این‌گونه راهکارها برای کاهش میزان نشت استفاده می‌شود، می‌توان پیش‌بینی کرد که در صورت وجود پرده‌ی آب بند در مدل شبیه‌سازی‌شده، مقادیر شاخص گسیختگی کاهش قابل ملاحظه‌ی نشان خواهند داد.

در ادامه‌ی تحلیل‌های حالت الف، نمودارهای شکل ۶ بدون درنظرگرفتن مؤلفه‌ی هیدرولیکی فشار آب پشت سد به دست آمده است. به عبارتی در این تحلیل هیچ‌گونه آبی درون ناپیوستگی‌ها جریان ندارد. همان‌طوری که مشاهده می‌شود تفاوت‌هایی میان صرف‌نظرکردن از جریان آب درون ناپیوستگی‌ها با لحاظ‌کردن آن در تحلیل‌ها وجود دارد که عبارتند از:

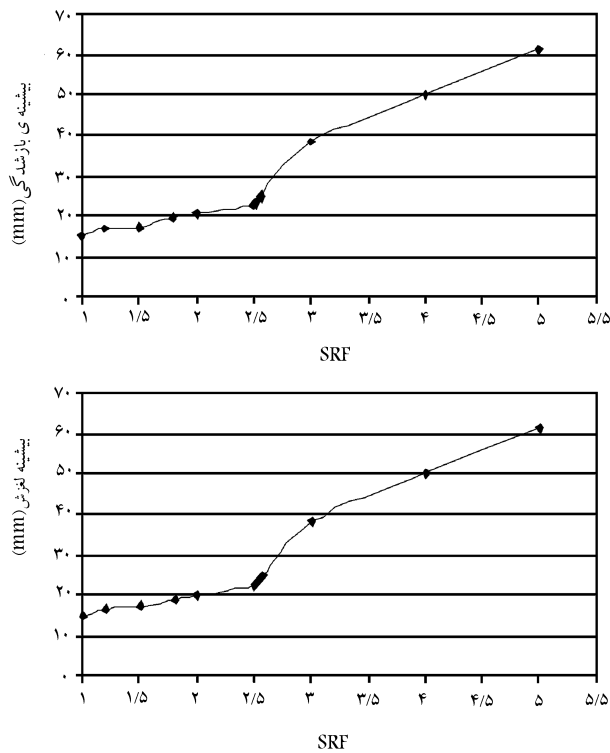
- رفتار شاخص‌های گسیختگی در مقابل تغییرات فشار آب کاملاً متفاوت است. بنابراین پیش‌بینی رفتارهای مکانیکی و هیدرولیکی و مکانیزم گسیختگی توده سنگ در این حالت (بدون آب) ممکن است کاملاً غیر واقعی و اشتباه باشد.
- مقادیر شاخص بیشینه‌ی بازشدگی و لغزش در قیاس با حالت قبلی بسیار کمتر هستند، به نحوی که در فشار ۱/۵ مگاپاسکال مقادیر شاخص بازشدگی (یا لغزش)



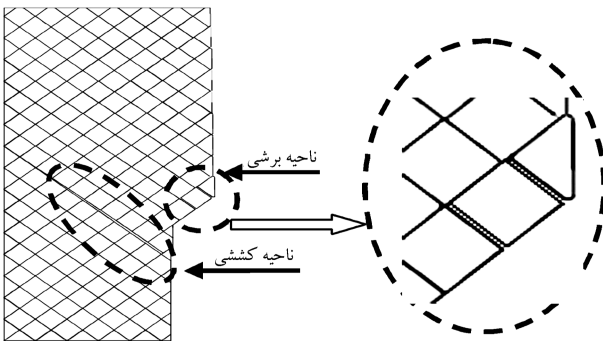
شکل ۵. تغییرات اندیس‌های گسیختگی در مقابل تغییرات فشار آب با درنظرگرفتن جریان درون درزه‌ها.

بیشینه‌ی مقادیر بازشدگی قابل انتظار است. این تذکر لازم است که بر اساس قانون مکعب، دبی عبوری از یک درزه، تابعی از توان سوم سوم بازشدگی آن درزه است. شاخص بیشینه‌ی لغزش نیز رفتاری مشابه با شاخص بیشینه‌ی بازشدگی دارد. به طورکلی در محیط‌های ناپیوسته با درزه‌های متقاطع، بازشدگی در یک درزه مستلزم لغزش در درزه‌ی دیگر است. شاخص بیشینه‌ی دبی عبوری نیز رفتاری یکسان با دو شاخص دیگر دارد. با توجه به اینکه گسیختگی تکیه‌گاه در فشار نزدیک به ۴/۶ مگاپاسکال رخ می‌دهد، در این حالت ضریب اینمی طبق تعریف مساوی ۲/۳ است. همان‌طوری که در شکل ۹ نشان داده شده است، مقادیر بیشینه‌ی لغزش و بازشدگی در ناحیه‌ی کششی بالا دست اتفاق می‌افتد. ضمن اینکه بلوك‌ها در تماس با بدنه‌ی سد نیز چار لغزش می‌شوند و یک ناحیه‌ی برشی را به وجود می‌آورند که ناپایداری بدنه‌ی سد را به دنبال خواهد داشت.

در تفسیر مقادیر نسبتاً زیاد شاخص‌های گسیختگی در شکل ۵ باید یادآور شد



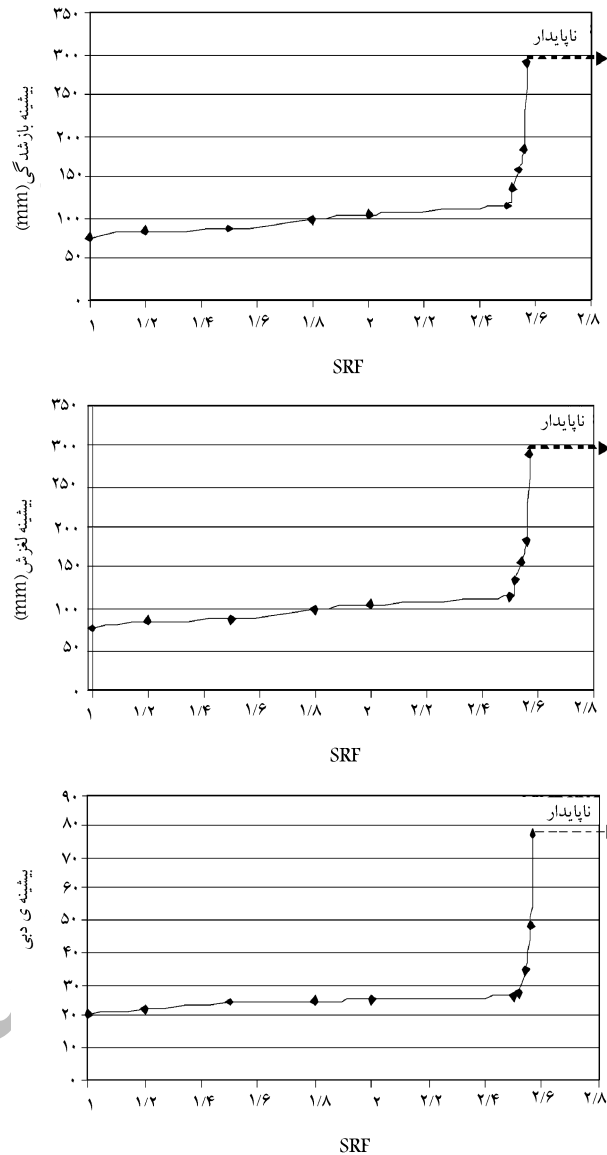
شکل ۸. تغییرات اندیس‌های گسیختگی در مقابل تغییرات SRF بدون در نظر گرفتن جریان درون درزهای.



شکل ۹. محل بیشینه‌ی بازشدگی و لغزش.

همین مشاهدات برای شاخص بیشینه‌ی لغزش نیز صادق است. در واقع می‌توان نتیجه گرفت که به ازاء این مقدار کاهش مقاومت، تکیه‌گاه سد در آستانه‌ی گسیختگی و ناپایداری قرار می‌گیرد. مقادیر بیشینه‌ی بازشدگی و لغزش که باعث گسیختگی تکیه‌گاه می‌شوند، در ناحیه‌ی کششی که در شکل ۹ نشان داده شده است، اتفاق می‌افتد. شاخص بیشینه‌ی دبی عبوری رفتاری مشابه با دو شاخص قبلی دارد. به‌نظر می‌رسد این رفتار متأثر از کاهش مقادیر سختی نرمال و زاویه انساع باشد که به خوبی رابطه‌ی میان پارامترهای هیدرولیکی و مکانیکی توده سنگ را آشکار می‌سازد. ضریب اینمی در این حالت معادل ۲,۵۵ است.

در شکل ۸ مشاهده می‌شود که حتی به ازاء ضریب $SRF = 5$ نیز هیچ‌گونه گسیختگی در تکیه‌گاه رخ نداده و اینمی تکیه‌گاه سد تقریباً دو برابر حالتی است که جریان درون درزهای شیوه‌سازی می‌شود $SRF = 2,55$ (شکل ۷). این مقایسه همانند مقایسه‌ی نتایج شکل‌های ۵ و ۶ اهمیت تأثیر رفتار هیدرومکانیکی ناشی از جریان آب درون درزهای را نشان می‌دهد.



شکل ۷. تغییرات اندیس‌های گسیختگی در مقابل تغییرات SRF با در نظر گرفتن جریان درون درزهای.

درزهای برای دو حالت به ترتیب ۵۰ و ۱۵۵ میلی‌متر هستند. به عبارتی در حالتی که از جریان درون ناپیوستگی‌ها صرف‌نظر می‌شود نتایج تحلیل می‌تواند بسیار خوب‌بینانه و درنتیجه بر خلاف جهت اینمی باشد.

گسیختگی تکیه‌گاه در حالت دوم در فشار بسیار بالای ۱۲ مگاپاسکال روی می‌دهد. این حالت از تحلیل، سطح اینمی را بسیار بالا و ضریب اینمی را دست‌کم برابر ۶ نشان می‌دهد. حال آنکه با درنظرگرفتن جریان آب، ضریب اینمی برابر ۲,۳ به دست می‌آید. بنابراین نتایج تحلیل بدون جریان در تخمین پایداری می‌تواند بسیار دست پایین و بر خلاف جهت اینمی باشد.

همان‌طور که از نمودار شکل ۷ مشخص است، در حالتی که جریان آب درون درزهای شیوه‌سازی می‌شود مقدار بیشینه‌ی بازشدگی به‌منزله‌ی یک شاخص گسیختگی همزمان با افزایش ضریب SRF افزایش پیدا می‌کند، به نحوی که در مقدار نزدیک به $2,55$ $SRF = 2,55$ شاخص بیشینه‌ی بازشدگی شدیداً افزایش پیدا می‌کند.

و یا کاهش پارامترهای مقاومتی درزه‌ها، شاخص‌های بسیار مناسبی برای بیان مکانیزم گسیختگی محیط توده سنگی تکیه‌گاه سدهای بتنی قوسی هستند. این مقادیر در ناحیه‌یی که گسیختگی رخ می‌دهد اتفاق می‌افتد.

• آهنگ تغییرات بازشدگی و لغزش درزه‌ها به‌ازاء افزایش فشار آب و یا کاهش مقاومت، در دو حالت مختلف عبور جریان و عدم عبور جریان درون درزه‌ها (نادیده انگاشتن نقش پدیده‌ی هیدرومکانیکی) کاملاً متفاوت است. به‌نحوی که می‌توان گفت در تحلیل پایداری تکیه‌گاه سدهای بتنی قوسی، عدم درنظرگرفتن جریان آب درون درزه‌ها و صرف‌نظرکردن از تأثیرات هیدرومکانیکی منجر به درک نادرست از مکانیزم‌های گسیختگی تکیه‌گاه‌ها خواهد شد.

• با تعریف ضریب کاهش مقاومت SRF به‌منزله‌ی یک ضریب اینمی، عدم درنظرگرفتن جریان آب درون درزه‌ها می‌تواند ضریب اینمی را بسیار بیشتر از حالتی به‌دست دهد که جریان آب و پدیده‌ی هیدرومکانیکی منظور می‌شود (در مدل فرضی این تحقیق تقریباً دو برابر به‌دست آمده است). لذا طراحی براساس فرض عدم وقوع پدیده‌ی هیدرومکانیکی می‌تواند بسیار ناایمن و خطرناک باشد.

نکته‌ی قابل تأمل دیگر تشابه رفتاری نمودارهای شکل‌های ۷ و ۸ در نزدیکی $SRF=2,55$ است، به‌نحوی که هردو نمودار در این محدوده چار تغییر مسیر ناگهانی می‌شوند. این تغییر ناگهانی در تحلیل‌هایی که جریان نیز در آن‌ها شبیه‌سازی نمی‌شود می‌تواند بیان گروضیت بحرانی تکیه‌گاه باشد. آن‌جتناکه در همین محدوده و در شرایطی که جریان شبیه‌سازی می‌شود تکیه‌گاه سد به مرز گسیختگی می‌رسد. کلیه‌ی موارد بیان شده از تفاوت نتایج حاصل از اشکال ۵ و ۶ نیز در این حالت مصدق دارد و لزوم لحاظکردن جریان سیال را بیش از پیش معلوم می‌کند.

۱۰. نتیجه‌گیری

در این مطالعه با نگاه ویژه به نقش ناپیوستگی‌ها در گسیختگی تکیه‌گاه‌های سدهای بتنی قوسی، یک تکیه‌گاه فرضی شبیه‌سازی و تأثیر لحاظکردن جریان آب درون ناپیوستگی‌ها و پدیده‌ی هیدرومکانیکی بر روی اینمی آن بررسی شد. بعد از انجام تحلیل‌های مختلف نتایج زیر به‌دست آمد:

- مقادیر بیشینه‌ی بازشدگی، لغزش و دبی عبوری در شرایط تغییر فشار آب مخزن

پابلوشت

1. interconnectivity
2. discrete flow analysis
3. porous medium
4. aperture
5. orientation
6. Poiseuille law
7. pressure drop coefficient
8. residual aperture
9. continuously yielding joint model
10. strength reduction factor

منابع

1. Stephansson, O. "The role of hydromechanical coupling in fractured rock engineering", *Hydrogeology Journal*, **11**(1) pp. 7-40 (2002).
2. Londe, P. "The malpasset dam failure", *Engineering Geology*, **24**, pp. 295-329 (1987).
3. Thomas, H.H. and Rutqvist, J. "The engineering of large dam", part 1, *John Wiley Sons*, New York (1976).
4. Krsmanovic, D. "The behaviour of the horizontal arch dam supporting some type of discontinuum", *Advanced in rock mechanics*, **1**, Colorado, Part A, p. 187 (1974).
5. Goodman, R.E. and Scott, G.A. "Rock mechanics dam safety studies for semineoe arch dam", *proceedings of the 1st North America rock mechanics symposium*, the University of Texas at Austin (1994).
6. Valencia, F.G. and Beltran, C.M. "Long-Term stability of the Santa Roza dam left abutment", *proceedings of the 1st North American rock mechanics symposium*, the University of Texas at Austin (1994).
7. Mgalobelov, Yu.B. "Computational studies of rock foundation of arch dams", *proceedings of international congress on Rock Mechanics*, Tokyo, Japan (1995).
8. Stematiu, D.; Bugnariu, T. and Constantinesco, A.L. "Rock mechanics problems related to three arch dams founded on faulted rocks", *proceedings of second international conference on the mechanics of jointed and faulted Rock-MJFR-2*, Vienna, Austria (1995).
9. Walsh, J.B. "The effect of cracks on the compressibility of rocks", *Journal of Geophysical Research*, **70**(2), pp. 381-389 (1965).
10. Bandis, S.C.; Lumsden, A.C. and Barton, N.R. "Fundamentals of rock joint deformation", *International Journal of Rock Mechanics and Mining Sciences & Geomechanics Abstracts*, **20**(6), pp. 249-268 (1983).
11. Brace, W.F. "Permeability of crystalline and argillaceous rock", *International Journal of Rock Mechanics and Mining Sciences & Geomechanics Abstracts*, **17**, pp. 241-250 (1980).
12. Priest, S.D. "Discontinuity analysis for rock engineering", *Chapman & Hall*, London (1993).
13. Long, J.C.S. and Witherspoon, P.A. "The relationship of the degree of interconnectivity to permeability of fracture networks", *Journal Geophysical Research*, **90**(B4), pp. 3087-3098 (1985).
14. Oda, M. "Permeability tensor for discontinuous rock mass", *Geotechnique*, **35**(4), pp. 483-495 (1985).
15. Stietel, A.; Millard, A.; Treille, E.; Vuillod, E.; Thoraval, A. and Ababou, R. "Continuum representation

- of coupled hydro-mechanical process of fractured media homogenisation and parameter identification" Coupled Thermo-Hydro-Mechanical process of fractured media, Amsterdam, Elsevier Science, **79**, pp. 135-164 (1996).
16. Tsang, C.F. and Stephansson, O. "A conceptual introduction to coupled thermo-hydro-mechanical processes in fractured rocks" Coupled Thermo-Hydro-Mechanical Process of Fractured Media, Elsevier Science (1996).
 17. Lomize, G.M. "Filtratsia v treshchinovatkh", Gosudarstvennoe Energeticheskoe Izdatelstvo, Moskva-Leningrad (1951).
 18. Sutera, S.P. and Skalak, R. "The history of poiseuille's law", Annual Review of Fluid Mechanics, **25**, pp. 1-19 (1993).
 19. Pfitzner, J. "Poiseuille and his law", Anaesthesia, **31**(2), pp. 273-275 (March 1976).
 20. Brown, S.R. "Fluid flow through rock joints: effects of surface roughness", Journal of Geophysical Research, **92**(B2), pp. 1337-1347 (1987).
 21. Neuzil, C.E. and Tracy, J.V. "Flow through fractures", Water Resources Research, **1**(3), pp. 191-199 (1981).
 22. Tsang, Y.W. "The effect of tortuosity on fluid flow through a single fracture", Water Resources Research, **20**(9), pp. 1209-1215 (1984).
 23. Iwai, K. "Fundamental studies of fluid flow through single fracture" PhD Thesis, University of California, Berkeley (1976).
 24. Witherspoon, P.A.; Wang, J.S.Y.; Iwai, K. and Gale, J.E. "Validity of cubic law for fluid flow in a deformable rock fracture", Water Resources Research, **16**(6), pp. 1016-1024 (1980).
 25. Louis, C. "Introduction à l'hydraulique des roches", PhD Thesis, Paris (1976).
 26. Walsh, J.B. "Effect of pore pressure and confining pressure on fracture permeability", International Journal of Rock Mechanics Mining Sciences & Geomech, **18**, pp. 429-434 (1981).
 27. Tsang, Y.W. and Witherspoon, P.A. "Hydromechanical behaviour of a deformable rock fracture subject to normal stress", Journal Geophysical Research, **86**(B10), pp. 9287-9298 (1981).
 28. Thiel, K. "Rock mechanics in hydro engineering", Elsevier (1989).
 29. Engelder, T. and Scholz, C.H. "Fluid flow along very smooth joints at effective pressures up to 200 MPa", in mechanical behavior of crustal rocks, Am. Geophysics, **24**, pp. 147-152 (1981).
 30. Pyrak-Nolte, L.J.; Myer, L.R.; Cook, N.G.W. and Witherspoon, P.A. "Hydraulic and mechanical properties of natural fractures in low permeability rock", International Congress on Rock Mechanics (ISRM), Montreal, Canada, pp. 225-231 (1987).
 31. ITSCA Consulting Group, UDEC-Universal Distinct Element Code, Version 3.0, **1**, **2** and **3**, User's Manual (1996).
 32. Sharp, J.C., Fluid flow through fissured media. Phd.Thesis, imperial College of Science and Technology, London (1970).
 33. Tsang, Y.W. "The effect of tortuosity on fluid flow through a single fracture", Water Resources Research, **20**(9), pp. 1209-1215 (1984).
 34. Brady, B.H.G. and Brown, E.T. "Rock mechanics for underground mining", 2nd edn, Chapman & Hall (1994).
 35. Indraratna, B. and Ranjith, P. "Deformation and permeability characteristics of rocks with interconnected fractures", 9th International Congress on Rock Mechanics, Paris, **2**, pp. 755-760 (1999).
 36. Herbert, A.W. "Modelling approaches for discrete fracture network flow analysis", Coupled Thermo-Hydro-Mechanical Process of Fractured Media, Elsevier (1996).
 37. Zhang, X.; Sanderson, D.J.; Harkness, R.M. and Last, N.C. "Evaluation of the 2-D permeability tensor for fractured rock mass", International Journal Rock Mechanics & Mining Sciences, **33**(1), pp. 17-37 (1996).
 38. Indraratna, B.; Ranjith, P.G. and Aziz, N. "Numerical prediction of inflow to underground cavity using a coupled hydro-geomechanical model", International conference on Geomechanics/Ground Control in Mining and Underground Construction, Australia, **2**, pp. 63-71 (1998).
 39. Manual of UDEC, User's Guide, Section 1, "Introduction".
 40. Liao, Q.H. and Hencher, S.R. "Numerical modelling of the hydro-mechanical behaviour of fractured rock masses", International Journal Rock Mechanics & Mining Sciences, NYRocks's 97, **34**(3-4), paper no. 117 (CDROM) (1997).